

# siRNA 沉默 VEGF - C 基因对宫颈癌 HeLa 细胞的生物学特性影响

陈 星 王美芬 吴朝阳 郑灵芝 任虹平 郑曙民 熊冬生 杨纯正 麋若然

**摘要 目的** 通过 RNA 干扰技术抑制宫颈癌细胞 VEGF - C 表达,探讨干扰后 VEGF - C、NF - κB、bcl - 2 基因的表达。

**方法** 根据人 VEGF - C mRNA 编码序列,设计 RNA 干扰的靶点,并用脂质体转染人宫颈癌 HeLa 细胞,通过 RT - PCR 法观察转染后肿瘤细胞 VEGF - C、NF - κB、bcl - 2 基因的变化。结果 转染 siRNA 24h、48h 可以使 HeLa 细胞 VEGF - C mRNA 含量降低,在 24h 降低  $80.63\% \pm 0.24\%$  ( $P < 0.001$ ) ; 在 48h 降低  $38.9\% \pm 0.85\%$  ( $P < 0.01$ ) ; NF - κB mRNA 含量也分别降低,在 24h 降低  $37.55 \pm 2.76\%$  ( $P < 0.05$ ) ; 在 48h 降低  $30.5\% \pm 3.82\%$  ( $P = 0.056$ ) ; bcl - 2 mRNA 含量同时分别降低,在 24h 降低  $76.95\% \pm 1.91\%$  , ( $P < 0.01$ ) ; 在 48h 降低  $64.11\% \pm 2.96\%$  , ( $P < 0.05$ ) )。结论 脂质体介导的 VEGF - C siRNA 转染 HeLa 细胞后,可以有效抑制 VEGF - C 的表达;可能通过下调转录因子 NF - κB,抑制抗凋亡基因 bcl - 2 的表达。

**关键词** 血管内皮生长因子 - C bcl - 2 NF - κB 宫颈癌 RNA 干扰

**Effect of Molecular Biology of Inhibition of VEGF - C in HeLa Cell Lines by siRNA in Vitro.** Chen Xing, Wang Meifeng, Wu Zhaoyang, et al. Taizhou Hospital of Zhejiang Province, Zhejiang 317000, China

**Abstract Objective** To analysis the expression of VEGF - C, NF - κB, bcl - 2 gene by inhibiting VEGF - C expression of tumor cells with RNA interference (RNAi) technique. **Methods** According to the encoding sequence mRNA of human VEGF - C, the target site for RNAi was designed, siRNA was transfected by liposome and the expression of VEGF - C, NF - κB, bcl - 2 mRNA was further observed by RT - PCR. **Results** The expression of VEGF - C of HeLa cell lines treated with siRNA for 24h, 48h was significantly inhibited, with in 24h  $80.63\% \pm 0.24\%$  ( $P < 0.001$ ) and in 48h  $38.9\% \pm 0.85\%$  ( $P < 0.01$ ) . The expression of NF - κB was also down - regulated in 24h, 48h, with in 24h  $37.55\% \pm 2.76\%$  ( $P < 0.05$ ) and in 48h  $30.5\% \pm 3.82\%$  ( $P = 0.056$ ) . Thus the expression of bcl - 2 was also inhibited in 24h, 48h, with in 24h  $76.95\% \pm 1.91\%$  ( $P < 0.01$ ) and in 48h  $64.11\% \pm 2.96\%$  ( $P < 0.05$ ) . **Conclusion** After being treated with VEGF - C siRNA of the HeLa cells, the expression of VEGF - C is effectively inhibited, NF - κB may be down - regulated and anti - apoptosis bcl - 2 gene is effectively inhibited.

**Key words** Vascular endothelial growth factor - C; bcl - 2; RNA interference; Cervical carcinoma

RNA 干扰是指与内源性 mRNA 编码区某段序列同源的双链 RNA 分子导入细胞后,该 mRNA 发生特异性降解,导致基因表达的沉默<sup>[1]</sup>。RNA 干扰技术已经成为一种研究基因功能和基因治疗的新方法。宫颈癌早期就有淋巴结的转移,研究表明 VEGF - C 与宫颈癌新生淋巴管形成和淋巴转移密切相关<sup>[2]</sup>。本研究针对 VEGF - C 基因 mRNA 序列设计合成与之互补的双链低分子干扰 RNA (siRNA),在脂质体介

导下转染入宫颈癌 HeLa 细胞系,观察对宫颈癌细胞的作用,以 RT - PCR 方法检测 VEGF - C、NF - κB、bcl - 2 mRNA 表达,并应用 MTT 法观察细胞对顺铂敏感性的变化。

## 材料与方法

1. 实验试剂,仪器:RNA 干扰试剂盒购自美国 Ambion 公司。阳离子脂质体转染试剂盒 Lipofectamine™ 2000、Trizol, M - MLV 购自 Invitrogen 生命技术公司。胎牛血清购自天津灏洋生物有限公司。青霉素、链霉素、MTT、二甲基亚砜、DTT 购自 SIGMA 公司。DEPC、随机引物、dNTP 购自上海生工生物有限公司。紫外分光光度计 UV - 3000 型;酶标仪 Microplate Reader450; GeneAmp PCR System2400 型扩增仪;;凝胶成像系统 AlphaEaseFC(美国 Alpha Innotech 公司);荧光分光光度计 F - 4500;微量加样器 96、24、12、6 孔板。

2. 细胞系:宫颈癌细胞系:宫颈癌细胞系 HeLa 为中国医学科学院血液学研究所药物室提供,前期构建的高表达

基金项目:浙江省卫生厅科技基金资助项目(2008196B);浙江省台州科技基金课题(08YK14)

作者单位:317000 温州医学院附属浙江省台州医院妇产科(陈星、王美芬、吴朝阳、郑灵芝、任虹平);030001 太原,山西省肿瘤医院(郑曙民);300520 天津医科大学总医院(麋若然);300520 中国医学科学院北京协和医学院血液学研究所(熊冬生、杨纯正)

通讯作者:陈星,电子信箱: chenxing6709@hotmail.com

VEGF-C 的 HeLa/S1 及转染空载体 HeLa/C 用于细胞耐药实验。常规 RPMI1640 培养,至转染前夜,细胞培养液更换为用无血清和无抗生素的 IMDM,置于 37℃ 5% CO<sub>2</sub> 孵箱,转染后用 20% FBS IMDM 培养液,按常规方法培养,取处于对数生长期的细胞用于实验。用 Opti-MEM I 转染液及脂质体 Lipofectamine™ 2000 转染试剂,按试剂盒说明优化转染条件,分别将 5 对 siRNA 和阳性对照筛选出的干扰序列的 scramble siRNA (siRNA-neg) 以 400nmol/L 的终浓度加入细胞培养液,孵育 24、48、72h 后收获细胞进行检测。实验重复 3 次。

3. siRNA 的设计:根据 GenBank 中 VEGF-C 基因序列 (GenBank Accession No. X94216) 和 siRNA 设计原则,应用 Ambion 生物公司的设计软件,自 VEGF-C mRNA 的起始密码子开始,寻找候选靶序列。将候选序列在 GenBank 中用 Blast 软件进行同源序列搜索,排除那些和其他基因编码序列或 EST 同源的候选序列。最终我们选择了 5 段 21 个碱基的

siRNA 序列 (T I、T II、T III、T IV、T V), 分别靶向 VEGF-C 基因的 508~528 和 589~609, 776~796, 1384~1404, 1488~1508 区域(表 1)。另外,根据转染后细胞形态学变化,设计与 T I (508siRNA) 序列含有同样核苷酸比例的随机对照 siRNA (508c1, 508c2) 作为阴性对照,用 Blast 验证随机序列与 GenBank 中其他已知人类基因序列没有同源性。利用针对三磷酸甘油醛脱氢酶 (GAPDH) 基因的正、反义寡核苷酸模板作为 RNA 干扰实验的阳性对照。设计的正反义寡核苷酸模板 3' 端均加上 T7 启动子引物 5'-CCTGTCTC-3', 由上海生工生物工程技术服务有限公司合成。GAPDH 引物序列为正向: 5'-TGA AGGTCG GAG TCA ACG GAT TTG-3'; 反向: 5'-CAT GTG GGC CAT GAG GTC CAC CAC-3' 扩增片段长 983bp。设计的 5 个序列,根据 VEGF-C 功能区的划分进行选择,其中 508 为活性区外部分即信号肽部分; 589、776 为活性区; 1384、1488 为活性区外。

表 1 筛选的 VEGF-C 靶基因的 siRNA 序列

VEGF-C 的部位	靶序列	正义链 (5'→3')	反义链 (5'→3')	VEGF-C 编码 基因序列
508	aagcaaagatctggaggagc	AAGCAAAGATCTGGAGGAGCACCTGTCTC	AATGCTCCCTCAGATCTTGCCCTGTCTC	508~528 T I
589	tgtacaagtgtacgtaagg	AATGTACAAGTGTGAGCTAACCCGTCTC	AACTTAGCTGACACTTGACACCTGTCTC	589~609 T II
776	ggagttggagtcgcacaaa	AAGGAGTTGGAGTCGGACACCCGTCTC	AATGTCGGACTCCAAACTCCCCTGTCTC	776~796 T III
1384	gaacctgccccagaaatcaa	AAGAACCTGCCAGAAATCACCTGTCTC	AATGATTCTGGGGCAGGTTCCCTGTCTC	1384~1404 T IV
1488	acatgcacgttacagaeg	AAACATGCAGCTGTTACAGACCCGTCTC	AAGTCTGTAACAGCTGCATGTCCTGTCTC	1488~1508 T V

4. 体外转录法合成 siRNA: 按照试剂说明书合成转录模板, 双链 RNA 的合成, siRNA 的纯化, 进行 siRNA 的定量, 均按试剂说明书进行。

5. siRNA 的转染: 取对数生长期的细胞, 按照转染试剂盒说明书进行, 在转染后不同的时间点 (24、48、72h) 收集细胞, 进行下一步的检测。

6. 半定量 RT-PCR 方法检测 RNA 干扰后 VEGF-C 表达: 用半定量 RT-PCR 的方法检测干扰序列 508 和 509、776、1384、1488 共 5 对 siRNA 转染后细胞中 VEGF-C mRNA 表达水平的变化, 采用 Trizol 试剂盒提取细胞总 RNA, 用 2 μg 总 RNA 进行 cDNA 的合成, 半定量 RT-PCR 方法检测检测 siRNA 转染后不同时间点 24、48、72h 细胞中 VEGF-C mRNA 及 NF-κB、bcl-2 mRNA 表达水平的变化。β-actin 或 GAPDH 作内对照。PCR 反应体系为 50 μl。VEGF-C 基因 PCR 引物: 扩增产物为 541bp, 正向 5'-GCCAACCTCAACTCAAG-GAC-3', 反向 5'-AAGGAGCTGGATGAAGAGAC-3'; NF-κB 基因 PCR 引物: 扩增产物为 407bp, 正向 5'-CACTTATG-GACAACATATGAGGTCTCTGG-3', 反向 5'-CTGTCTGTGGA-CAACGCAGTGGAAATTCTGG-3'; bcl-2 基因 PCR 引物: 扩增产物为 271bp, 正向 5'-TGCACCTGACGCCCTTCAC-3', 反向 5'-AGACAGCCAGGAGAAATCAAACAG-3'; β-actin 基因

PCR 引物: 扩增产物为 291bp, 正向 5'-ACCACAGCT-GAGAGGGAAATCG3', 反向 5'-AGAGGTCCTACGGATGTC-AACCG3'。GAPDH 引物序列同前, 扩增片段长 983bp。针对抑制效果较好的序列, 随机设计两对引物序列, 作为 siRNA 的阴性对照 siRNA/C1、siRNA/C2。扩增后取 10 μl PCR 产物进行琼脂糖凝胶电泳, 紫外照相并进行扫描分析, 用 AlphaE-aseFC™ 软件分析, siRNA 处理 24、48、72h, VEGF-C、NF-κB、bcl-2 mRNA 表达水平变化。选取试剂盒提供的 GAPDH 的模板合成针对 GAPDH 的 siRNA, 以此 siRNA 转染后的 GAPDH 的表达改变作为干扰效果的阳性对照。GAPDH 扩增条件后, 进行相同实验, 实验重复 3 次。

7. siRNA 和脂质体的细胞毒性检测: 细胞用无血清和无抗生素的培养液洗涤重悬, 每孔  $2 \times 10^4$  加入 96 孔板。分别加入用 Opti-MEM I 稀释的 siRNA (终浓度为 100nmol/L) 或 lipofectamine2000 (终浓度为 2ml/L), 72h 后分别加入 5mg/ml 的 MTT, 每孔 20 μl, 37℃ 置 4h, 弃上清, 每孔加入 100 μl 二甲基亚砜, 待甲酇完全溶解后, 测定其在 570nm 的吸光度, 并计算细胞存活率。对照孔细胞中加入等量的 Opti-MEM I 代替脂质体或 siRNA, 其余培养条件与处理组相同。

$$\text{存活率} = \frac{\text{处理孔 OD}_{570} - \text{空白孔 OD}_{570}}{\text{对照孔 OD}_{570} - \text{空白孔 OD}_{570}} \times 100\%$$

8. 统计学方法: 数据结果以均值 ± 标准差 ( $\bar{x} \pm s$ ) 表示, 两

组均数间比较采用双尾 *Student's t* 检验, 多组均数间比较采用方差分析(ANOVA),  $P < 0.05$  表示差异具有显著统计学意义,  $P < 0.01$  表示差异具有极显著统计学意义。所有数据采用 SPSS 12.0 软件包进行统计处理。

## 结 果

1. HeLa 细胞经 siRNA VEGF - C 和 GAPDH 处理 24、48、72h 后的细胞形态学变化: 对(T I、T II、T III) siRNA 处理 24、48、72h 的细胞观察, 干扰后的细胞形态不佳, 坏死细胞多, 细胞生长速度明显减慢。阳性对照 GAPDH siRNA 处理 24、48、72h 的细胞与选择的 siRNA 相似。从细胞形态观察, T IV、T V 组与阴性对照组无区别。阴性对照组和随机设计的对照组 24、

48、72h 的细胞生长迅速, 无明显区别; 与 GAPDH siRNA 阳性干扰组和设计的(T I、T II、T III) siRNA 组有区别。从形态学观察, 以 T I(508) 组的干扰效果优于其他两组。干扰图见图 1。

2. siRNA 抑制 VEGF - C mRNA 的表达: 经 AlphaEaseFC™ 软件分析, T I(508) 组 siRNA 处理 24、48h、VEGF - C mRNA 表达水平分别下调(图 2), 在 24h 下调( $80.63 \pm 0.24\%$ ) ( $t = 474.3, P = 0.001$ ); 在 48h 下调( $38.9 \pm 0.85\%$ ) ( $t = 64.833, P = 0.010$ ), 72h 该基因恢复表达。阳性对照为 GAPDH 在转染 24、48、72h 都能抑制靶基因的表达, 在 48h 抑制作用最明显(图 3)。

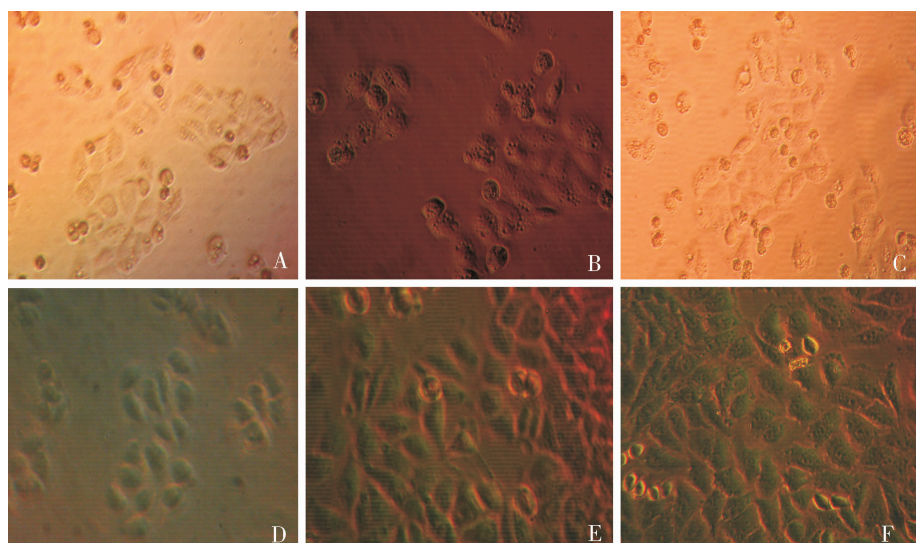


图 1 经相差显微镜观察的经 siRNA 作用的 HeLa 细胞形态学变化

- A. 由 VEGF - C siRNA 作用 24h 的图片;
- B. 由 siRNA 作用 48h 的图片;
- C. 由 siRNA 作用 72h 的图片; D、E、F. 对照组的图片

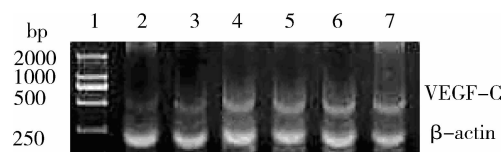


图 2 在 HeLa 株 VEGF - C siRNA 抑制 VEGF - C mRNA 表达

浓度为 40nmol/L T I siRNA 和对照组的电泳图。  
1. 分子标志物 marker (DL2000); 2. HeLa/24h siRNA;  
3. HeLa/48h siRNA; 4. HeLa/72h siRNA; 5,6,7. 对照组

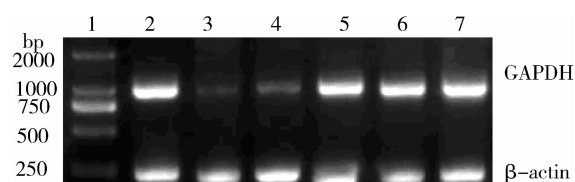


图 3 RT - PCR 分析的 GAPDH 在转染 24、48、72h 都能抑制靶基因的表达

- 1. 分子标记物 (DL2000); 2. 转染 GAPDH siRNA 后 24h;
- 3. 转染 GAPDH siRNA 后 48h; 4. 转染 GAPDH siRNA 后 72h;
- 5,6,7. HeLa 对照组

3. siRNA 抑制 NF - κB、bcl - 2 基因的表达: HeLa 细胞经 T I(508) 组 siRNA 处理 24、48h 后, NF - κB 表达水平下调, 在 24h 下调( $37.55 \pm 2.76\%$ ) ( $t = 18.17, P < 0.05$ ), 在 48h 下调( $30.5 \pm 3.82\%$ ) ( $t = 11.30, P = 0.056$ ), 72h 该基因恢复表达(图 4)。bcl - 2 mRNA 24、48h 表达水平下调: 在 24h 下调( $76.95 \pm 1.91\%$ ) ( $t = 57, P < 0.05$ ), 在 48h 下调( $64.11 \pm 2.96\%$ ) ( $t = 30.68, P < 0.05$ ), 72h 该基因恢复表达

11.30,  $P = 0.056$ ), 72h 该基因恢复表达(图 4)。bcl - 2 mRNA 24、48h 表达水平下调: 在 24h 下调( $76.95 \pm 1.91\%$ ) ( $t = 57, P < 0.05$ ), 在 48h 下调( $64.11 \pm 2.96\%$ ) ( $t = 30.68, P < 0.05$ ), 72h 该基因恢复表达

(图 5)。

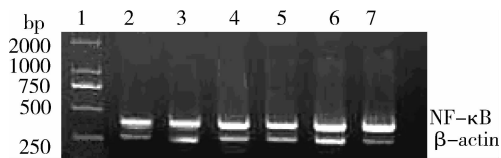


图 4 在 HeLa 株 VEGF - C siRNA 抑制 NF - κB mRNA 的表达

HeLa 株在 40nmol/L T1 siRNA 及对照 siRNA 作用后 NF - κB mRNA 基因的表达

1. 分子标志物 (DL2000); 2. 转染 HeLa/siRNA24h;
3. 转染 HeLa/siRNA48h; 4. 转染 HeLa/siRNA72h; 5、6、7. 对照组

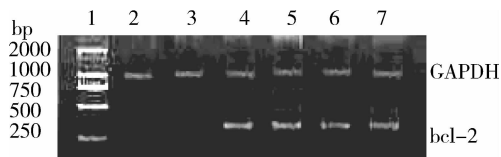


图 5 在 HeLa 株 VEGF - C siRNA 抑制 bcl - 2 mRNA 表达

HeLa 株在 40nmol/L T1 siRNA 及对照 siRNA

- 作用后 bcl - 2 mRNA 基因的表达
1. 分子标志物 (DL2000); 2. 转染 HeLa/siRNA24h;
  3. 转染 HeLa/siRNA48h; 4. 转染 HeLa/siRNA72h; 5、6、7. 对照组

4. siRNA 和脂质体的细胞毒性作用检测: HeLa 细胞经靶向 VEGF - C 基因的 siRNA 或 oligolipofectamine 处理后计算细胞存活率, 与未处理的 HeLa 细胞相比, 没有显著差异, 显示 siRNA 及脂质体本身在实验条件下对细胞基本没有毒性作用。

## 讨 论

宫颈癌早期就可经淋巴结转移, 即癌细胞经宫颈旁淋巴结至盆腔淋巴结再至腹主动脉旁淋巴结, 最后发生全身的转移。大量的研究表明, VEGF - C 与肿瘤的淋巴管新生和经淋巴道的转移密切相关, Van Trappen 等<sup>[3]</sup> 报道 VEGF - C 与宫颈癌淋巴转移明显正相关, 在有淋巴结转移者中, VEGF - C mRNA 被上调了 130 倍, 但具体机制尚不清楚。在我们的前期研究中, 在转染有 VEGF - C 高表达的宫颈癌 HeLa/S1 细胞株中, NF - κB mRNA 在, 其表达也高 ( $P < 0.05$ ); 其下游抗凋亡基因 bcl - 2 基因表达也高 ( $P < 0.05$ ); 我们在高表达 VEGF - C 的细胞株 MDA - MB231 也得出相同的结论。我们推测 VEGF - C 可能作为细胞信号传导的上游调控因子, 可激活 NF - κB, 使 bcl - 2 的表达增高, 使转染有 VEGF - C 基因的肿瘤细胞抗凋亡作用增强。推测 VEGF - C 基因在此中起了关键的作用。反向遗传学是研究基因功

能的最有效手段, RNAi 现象广泛存在于大多数真核生物中, 这些真核生物利用 RNAi 来抵御病毒的感染, 稳定转座子, 抗病毒及监控异常表达 mRNA 的生物学的作用。2001 年 Elbashir 等<sup>[4]</sup> 首次报道用宫颈癌 HeLa 细胞为研究对象, 将体外合成相应的特异性 siRNA 转染入癌细胞中, 结果发现其靶向 mRNA 所表达的蛋白质的量比转染前降低了 90%, siRNA 的应用受到关注, 近年来, 关于 siRNA 方法研究基因功能的报道很多。

本研究采用体外转录法, 即在噬菌体 RNA 聚合酶、Klenow DNA 聚合酶等作用下, 以连有噬菌体启动子的线性 DNA 为模板, 直接合成出特异双链 siRNA。对于靶基因位点的选择是一个非常重要的参数, 不同位置所设计的 siRNA 在诱导 RNA 干扰中的作用效力是不同的, 在本研究中, 针对 VEGF - C CDS 区的以 AA 开头的靶序列共有 81 个, 根据 siRNA 设计的原则, 及 GC 含量的分析, 对其进行 Blast 分析, 最终选择了 508 ~ 528 (T I ) 和 589 ~ 609 (T II ), 776 ~ 796 (T III ), 1384 ~ 1404 (T IV ), 1483 ~ 1503 (T V ) 的 5 对序列<sup>[5]</sup>。其中 T I siRNA 靶序列的 GC 含量为 51.7%, T II siRNA 靶序列的 GC 含量为 44.8%。5 对干扰序列由脂质体介导转染细胞后, 结果表明 T I 、T II 、T III 3 对 siRNA 序列都有抑制 VEGF - C 基因表达的作用, 而 T IV 、T V 则对靶基因无此作用。综合干扰后细胞形态分析和 mRNA 分析, T I (508) siRNA 抑制作用要更强一些。

本研究结果表明, siRNA 干扰后, VEGF - C 基因在 24h 明显下调, 下调 ( $80.63 \pm 0.24\%$ ) ( $P = 0.001$ ), 48h 下调 ( $38.90 \pm 0.85\%$ ) ( $P = 0.01$ ), 72h 该基因恢复表达。随机设立的 T I 对照组 siRNA/C1、siRNA/C2 无此干扰作用, 从细胞形态学也观察到 T I 对照组对细胞形态基本无影响, 说明我们所设计的 T I (508) 干扰序列具有序列特异性, 可以沉默 VEGF - C 基因的表达。

转录因子 NF - κB 是普遍存在的一种转录因子, 调控信号传导途径, 而过度激活与肿瘤等多种疾病有关, 诱导抗凋亡蛋白如 bcl - 2 家族并抑制促凋亡信号 Bax 的表达<sup>[6,7]</sup>。研究表明, 许多药物可通过下调 NF - κB 的活性, 抑制抗凋亡基因如 bcl - 2 其所调控的基因表达, 抑制肿瘤的侵袭和转移, 发挥凋亡的作用<sup>[8,9]</sup>。在 HPV18E6 阳性的 Hep2 细胞, 卡铂通过抑制 NF - κB 的活性, 与反应元件 bcl - 2 启动子结合, 下调抗凋亡蛋白 bcl - 2 的表达, 使细胞凋亡<sup>[10]</sup>。观

察我们选择的 TI 组 siRNA 干扰 HeLa 细胞后,发现可同时下调转录因子 NF - κB, 24h 下调 ( $37.55 \pm 2.76\%$ ) ( $P < 0.05$ ), 48h 下调 ( $30.5 \pm 3.82\%$ ) ( $P = 0.056$ ), 72h 该基因恢复表达。bcl - 2 mRNA 24、48h 表达水平也下调, 分别为 ( $76.95 \pm 1.91\%$ ) ( $P < 0.05$ ), ( $64.11 \pm 2.96\%$ ) ( $P < 0.05$ ), 72h 该基因恢复表达;本研究推测 VEGF - C 基因沉默后, 可引起 NF - κB 下调, 并沉默抗凋亡基因 bcl - 2。糜若然等<sup>[11]</sup>证明用 bcl - 2 反义基因在体内、外可有效抑制 bcl - 2 的表达,降低宫颈癌 HeLa 细胞的生长, 同时诱导肿瘤细胞的凋亡。VEGF - C 基因沉默后,使得该通路上的一些基因也保持静寂或休眠状态,这也从反向说明了致癌过程是相当复杂的涉及多个基因、多步骤的过程。

最近有报道在成瘤表达 VEGF - C 的裸鼠,注射了 VEGF - C 的 siRNA 可在 mRNA 和蛋白水平抑制 VEGF - C 的表达,从而抑制肿瘤淋巴管形成和淋巴结和肺转移,延长其生存时间<sup>[12]</sup>;在人类前列腺癌 PC - 3 细胞株的成瘤的裸鼠模型中<sup>[13]</sup>,针对 VEGF - C 的 siRNA 可抑制 VEGF - C 的表达,可减少 99% 肿瘤内淋巴管生成。在宫颈癌中,使用 HPVE6 siRNA 作用于 SiHa 细胞,同时抑制 E6、E7 蛋白的表达,可使 P53 蛋白的表达增加<sup>[14]</sup>。

有报道使用腺病毒载体将 siRNA 导入裸鼠体内<sup>[15]</sup>,稳定干扰该基因的表达,提示 siRNA 用于临床将成为可能,通过抑制肿瘤基因的表达,从而使肿瘤细胞增殖速度减慢,恶性程度降低,凋亡加快,为临幊上肿瘤的治疗提供新的策略。

#### 参考文献

- Fire A, Xu S, Montgomery MK, et al. Potent and specific genetic interference by double - stranded RNA in *Caenorhabditis elegans* [J]. Nature, 1998, 391 (6669) : 806 - 811
- Saharinen P, Tammela T, Karkkainen MJ, et al. Lymphatic vasculature: development, molecular regulation and role in tumor metastasis and inflammation [J]. Trends Immunol, 2004, 25 (7) : 387 - 395
- Van Trappen PO, Ryan A, Carroll M, et al. A model for co - expression pattern analysis of genes implicated in angiogenesis and tumour cell invasion in cervical cancer [J]. Br J Cancer, 2002, 87 (5) : 537 -

544

- Elbashir SM, Harborth J, Lendeckel W, et al. Duplexes of 21 - nucleotide RNAs mediate RNA interference in cultured mammalian cells [J]. Nature, 2001, 411 (6836) : 494 - 498
- Berezina SY, Supekova L, Supek F, et al. siRNA in human cells selectively localizes to target RNA sites [J]. Proc Natl Acad Sci U S A, 2006, 103 (20) : 7682 - 7687
- Haefner B. Targeting NF - kappaB in anticancer adjunctive chemotherapy [J]. Cancer Treat Res, 2006, 130 : 219 - 245
- Zhang HG, Wang J, Yang X, et al. Regulation of apoptosis proteins in cancer cells by ubiquitin [J]. Oncogene, 2004, 23 (11) : 2009 - 2015
- Shishodia S, Amin HM, Lai R, et al. Curcumin (diferuloylmethane) inhibits constitutive NF - kappaB activation, induces G<sub>1</sub>/S arrest, suppresses proliferation, and induces apoptosis in mantle cell lymphoma [J]. Biochem Pharmacol, 2005, 70 (5) : 700 - 713
- Takada Y, Murakami A, Aggarwal BB. Zerumbone abolishes NF - kappaB and I kappa B kinase activation leading to suppression of antiapoptotic and metastatic gene expression, upregulation of apoptosis, and downregulation of invasion [J]. Oncogene, 2005, 24 (46) : 6957 - 6969
- Singh S, Bhat MK. Carboplatin induces apoptotic cell death through downregulation of constitutively active nuclear factor - kappaB in human HPV - 18 E6 - positive HEp - 2 cells [J]. Biochem Biophys Res Commun, 2004, 318 (2) : 346 - 353
- 糜若然, 郑德先. bcl - 2 反义基因调控用于人宫颈癌体外治疗的研究 [J]. 中华妇产科杂志, 2000, 35 (2) : 105 - 108
- Chen Z, Varney ML, Backora MW, et al. Down - regulation of vascular endothelial cell growth factor - C expression using small interfering RNA vectors in mammary tumors inhibits tumor lymphangiogenesis and spontaneous metastasis and enhances survival [J]. Cancer Res, 2005, 65 (19) : 9004 - 9011
- Wong SY, Haack H, Crowley D, et al. Tumor - secreted vascular endothelial growth factor - C is necessary for prostate cancer lymphangiogenesis, but lymphangiogenesis is unnecessary for lymph node metastasis [J]. Cancer Res, 2005, 65 (21) : 9789 - 9798
- Niu XY, Peng ZL, Duan WQ, et al. Inhibition of HPV 16 E6 oncogene expression by RNA interference in vitro and in vivo [J]. Int J Gynecol Cancer, 2006, 16 (2) : 743 - 751
- Gurzov EN, Izquierdo M. RNA interference against Hec1 inhibits tumor growth in vivo [J]. Gene Ther, 2006, 13 (1) : 1 - 7

(收稿:2011 - 03 - 23)

(修回:2011 - 10 - 08)